

محاسبات ماتریسی ساختمانها بکمک حسابگر الکترونیکی (Computer)

نوشته‌ی :

اسماعیل نصیری

دانشجوی سال پنجم راه و ساختمان دانشکده فنی

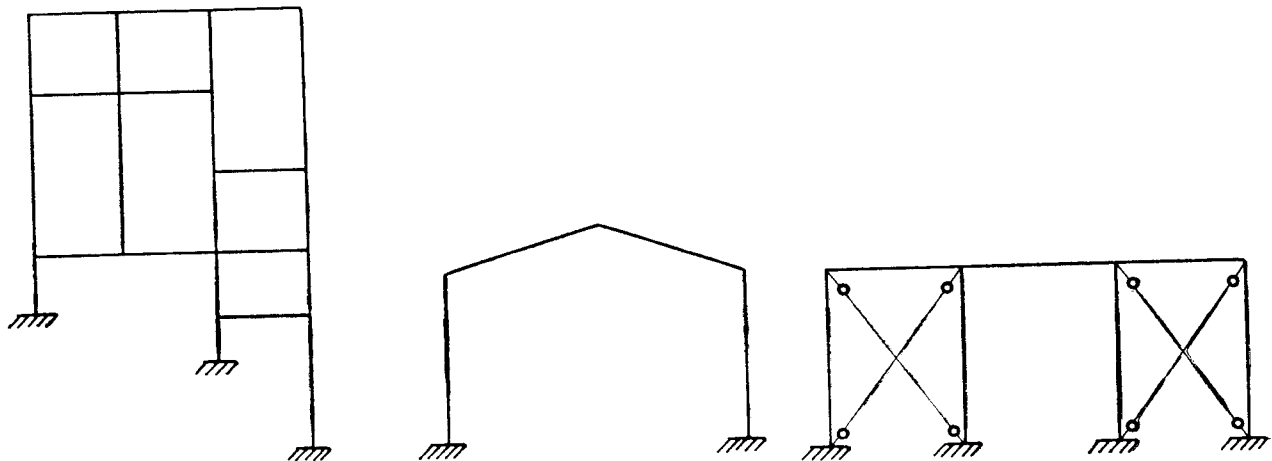
مقدمه :

ماتریس امروزه در بیشتر رشته‌های علوم بویژه در محاسبات ساختمانی نظری آنالیز قابها و شبکه‌ها، محاسبه پوسته‌ها و محاسبه شمع‌ها نقش عمده‌ای ایفا مینماید.

حل قابها پس از پیدا‌یابی خریب زاویه تغییر مکان (Slope Deflection) دگرگون شد و مهندسین محاسب می‌توانستند قابها را با دقت خوبی حل نمایند ولی این روش برای قابهای بزرگ که درجه نا معینی آنها زیاد بود روش عملی بشمار نمیرفت زیرا حل کردن یکدستگاه معادلات همزمان که تعداد مجهولات آن زیاد است کاریست وقت گیر و خسته کننده.

برای رفع این مشکل Cross و پس از او Kani و نیز Takabeya با استفاده از روش تقریبات متواالی راه حل‌های عملی و سریعی ارائه دادند، از طرف دیگر Causs و پس از او Siedel برای حل مستقیم معادلات راه حل‌هایی پیدا کردند که اساس محاسبات ماتریسی قرار گرفت.

پس از بوجود آمدن روش‌های ماتریسی می‌توان بجرئت گفت که حل قابها پر ز تکامل نزدیک شد، زیرا روش‌های قدیمی نظری Cross و یا Kani وغیره برای قابهای منظم روش‌های خوبی بودند (صرف نظر از اینکه روش Cross برای محاسبه حرکت جانبی قابهای نامتقارن و یا با بارگذاری نامتقارن روشی خسته کننده و طولانی است). ولی همینکه قاب کمی نامنظم می‌بود (مشلاً قاب دارای یک یا چند عضو مایل است، ارتفاعات یک طبقه مختلف‌اند، یک یا چند ستون بروی تیرها متکی‌اند وغیره). حل قاب ناممکن می‌شد و یا با مشکلات زیادی همراه بود.



شکل ۱

ولی روش‌های ماتریسی مستقل از هندسه ساختمان میباشند و برای هرنوع قابی قابل استفاده میباشند.

بنابراین همانطور که گذشت روش‌های ماتریسی فوق العاده دقیق و قابل انعطافی هستند که حل قابها را تکمیل نمودند، ولی عاملی که در روش ضریب زاویه تغییر مکان ایجاد مزاحمت میکرد در اینجا نیز وجود دارد و آن حل معادله و یا پیدا کردن عکس ماتریس است که وقت زیادی میگیرد، مثلاً برای محاسبه یک قاب مسطح با روش ماتریسی که دارای ... ۱ گره میباشد باستی یک دستگاه ... ۳ معادله ... ۳ بجهولی را حل کرد ولی یک فرق کلی بین روش ضریب زاویه تغییر مکان و روش ماتریسی میباشد و آن اینستکه روش ماتریسی قابل پیاده کردن روی Computer میباشد ولی روش ضریب زاویه تغییر مکان فوق العاده محدود است و ارزش پیاده کردن روی Computer را ندارد.

در هر حال با ورود Computer و کار برد آن در کارهای مهندسی مشکل روش‌های ماتریسی حل شد.

امروزه کامپیوتر نه تنها معادلات مربوطه را حل میکند بلکه سایر محاسبات آنالیز قابها را در مدت بسیار کمی انجام میدهد و تنها اطلاعاتی که بآن داده میشود عبارتند از:

- ۱ - مختصات گره‌ها (خصوصیات هندسی ساختمان) و تعیین گره‌های گیردار.
- ۲ - مشخصات اعضاء مانند سطح مقطع، ممان دینرسی و شماره گره‌های دوسرعضو.
- ۳ - بارگذاری.

بعلاوه محاسبات ماتریسی فقط محدود به قابهای مسطح نیست بلکه تمام تیپهای مختلف اسکلت‌های ساختمانی را شامل میشود که عبارتند از:

۱ - تیرهای مراسری Continuous Beam

Plane Truss	۲ - خرپا های مسطح
Plan Frame	۳ - قابهای مسطح
Grid	۴ - شبکه های مسطح
Space Truss	۵ - خرپاهای فضائی
Space Frame	۶ - قابهای فضائی

نویسنده در حدود ۷ ماه درمورد محاسبات ماتریسی تحقیق کرده و موفق شده است تمام برنامه های مربوطه را پیاده نماید که قسمت عمده ای از این وقت صرف سریع کردن برنامه شده است بطوریکه برنامه حتی برای قابهای بزرگ فوق العاده سریع است و استفاده از آن کاملاً اقتصادی است.

برنامه های دیگری برای محاسبات ماتریسی قابها نوشته شده است مثلاً برنامه ای را شرکت بوئینگ برای محاسبه بدنه هواپیما نوشته است، برنامه دیگری بنام (Structural Engineering System Solver)، Stress ، IBM توسط دانشگاه MIT برای نوشته شده است که برنامه های خیلی کاملی هستند ولی کند میباشند و مجموعه برنامه های دیگری که مربوط به کارهای ساختمانی است بنام Strapp شامل قاب مسطح و خرپا های مسطح و فضائی میباشد.

مقاله ای که بنظر خواننده خواهد رسید روش خاصی از محاسبات ماتریسی است که بیشتر قابل پیاده کردن توسط کامپیوچر میباشد، که البته میتواند توسط مهندسین محاسب نیز مورد استفاده قرار گیرد، ولی روش هایی که در بیشتر کتابهای ماتریسی وجود دارد کمی با این روش متفاوت امت و اشکالات قابهای نامنظم در آنها کم و بیش وجود دارد.

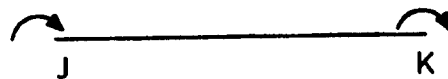
بهرحال این مقاله بمنظور آشنائی بیشتر علاقمندان تقدیم میگردد و امید است که در آتیه نزدیکی تمام مهندسین محاسب از این روش جالب در حل قابها استفاده نمایند. برای تشریح روش های ماتریسی روی قابهای مسطح تکیه شده است ولی روش محاسبه برای همه اسکلت های ساختمانی که در بالا بآن اشاره شد یکسان است.

روش محاسبه خیلی شبیه روش های قدیمی میباشد که همگی براساس تعادل گره قرار دارند و اصول محاسبه در تمام آنها بشرح زیر است.

در یک قاب که تحت بارگذاری معینی قرار گرفته است، در مرحله اول فرض می کنند که تمام گره ها گیردار میباشند (هیچ حرکتی در هیچ جهت نمی کنند .) و نیروها و لنگرهای گیرداری را حساب مینمایند سپس در مرحله دوم گره ها را آزاد فرض کرده و لنگرهای نیرو هایی که تحت اثر تغییر مکان های مجهول پیدا شده است بر حسب این تغییر مکانها حساب مینمایند و واضح است که نیرو و لنگرهای نهائی در سره رعضا مجموع دو مقدار بالاست، از تعادل گره یعنی صفر قرار دادن جمع جبری نیرو های انتهائی اعضاء هر گره n معادله بدست می آید که مجهولات آنها تغییر مکان گره ها میباشدو، حل این معادلات بروشهای گونا گون میسر

است که تا حال بیشتر از تقریبات متوالی استفاده شده است. پس از بدست آوردن تغییر مکانها با قرار دادن آنها در لنگرهای انتهائی مقادیر آنها پیدا می‌شود.

در اینجا برای درک روش‌های ماتریسی خیلی مفید است اگر روش‌های قدیمی را مرور کنیم: اگر جهت مشبّت لنگر را جهت ساعت بگیریم میدانیم که در یک قاب لنگرهای انتهائی عضوی مانند JK از روابط زیر بدست می‌آید:



شکل ۲

$$M_{JK} = m_{JK} + 4EK_{JK}\theta_J + 2EK_{JK}\theta_K - 6EK_{JK}\Delta_{JK}$$

$$M_{KJ} = m_{KJ} + 4EK_{JK}\theta_K + 2EK_{JK}\theta_J - 6EK_{JK}\Delta_{JK}$$

$$M_{JK} \quad \text{Lenگر انتهائی گره J} \quad M_{KJ} \quad \text{Lenگر انتهائی گره K}$$

$$m_{JK} \quad \text{Lenگر گیردار انتهائی گره J} \quad m_{KJ} \quad \text{Lenگر گیردار انتهائی گره K}$$

$$m_{JK} \quad \text{ضریب سختی عضو JK} \quad m_{KJ} \quad \text{ضریب سختی عضو K}$$

$$K_{JK} = \frac{I_{JK}}{L_{JK}} \quad \text{ضریب دوران گره JK}$$

$$\theta_J \quad \text{دوران گره J} \quad \theta_K \quad \text{دوران گره K}$$

تغییر مکان نسبی گره‌های J و K نسبت بهم بخش بطول عضو Δ_{JK} از این روابط در هر روش بنحوی خاص استفاده شده است.

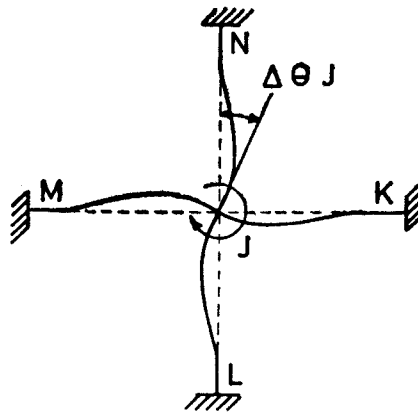
روش کراس: در روش کراس تغییر مکان جانبی را نادیده می‌گیرند بنابراین جمله چهارم معادلات بالا برابر صفر است اگر از معادلات بالا دیفرانسیل بگیریم داریم:

$$\Delta M_{JK} = 4EK_{JK}\Delta\theta_J + 2EK_{JK}\Delta\theta_K$$

چون هر دفعه یکی از گره‌ها را باز می‌کنند بنابراین

$$\Delta M_{JK} = 4EK_{JK}\Delta\theta_J \quad \text{و} \quad \Delta M_{JK} = 0$$

حال اگر مقادیر قبلی لنگرهای انتهائی اعضاً که به J وصل می‌شوند داشته باشیم مجموع جبری آنها دورانی باندازه $\Delta\theta_J$ را در گره J ایجاد می‌کنند تا تعادل در گره J برقرار شود و مطابق رابطه بالا این دوران $\Delta\theta_J$ لنگرهای ΔM_{JK} را که متناسب با ضرائب سختی اعضا مختلف است شامل می‌شود و بنابراین مقدار اصلاحی لنگر در سر هر عضو برابر مقدار زیر است:



شکل ۲

$$M_{JK} = \frac{K_{JK}}{\sum_{X=N}^{X=K} K_{JX}} \left(-\sum_{X=K} M_{JX} \right)$$

$$X = K$$

چون گره‌های مجاور گیردار فرض شده‌اند نصف این مقادیر به گره‌های مجاور منتقل می‌شود. با بازکردن متوالی گره‌ها محاسبات را آنقدر ادامه میدهند که تقریب کافی باشد.

روش کانی: در این روش تغییر مکان جانبی را در نظر می‌گیرند (برای جلوگیری از طول کلام فرض می‌کنیم تغییر مکان جانبی وجود ندارد) و گره‌ها را باهم باز می‌کنند: بافرض

$$M'_{KJ} = 2EK_{JK} \theta_K \quad \text{و} \quad M'_{JK} = 2EK_{JK} \theta_J$$

خواهیم داشت:

$$M_{JK} = m_{JK} + 2M'_{JK} + M'_{KJ}$$

از تعادل گره J داریم:

$$\begin{array}{lll} X=N & X=N & X=N \\ \Sigma m_{JX} + 2\Sigma M'_{JX} + \Sigma M'_{XJ} = 0 \\ X=K & X=K & X=K \end{array}$$

اگر هجای

$$M'_{JX} = 2EK_{JX} \theta_J$$

قرار دهیم خواهیم داشت:

$$\begin{array}{lll} X=N & X=N & X=N \\ \Sigma m_{JX} + 4E\theta_J \Sigma K_{JX} + \Sigma M'_{XJ} = 0 \\ X=K & X=K & X=K \end{array}$$

از حذف θ در روابط بالا داریم :

$$X=N$$

$$M'_{JK} = -\frac{K_{JK}}{2\rho_J} (\tau_J + \sum M'_{XJ})$$

$$X=K$$

$$X=N$$

که در آن :

$$\rho_J = \sum K_{JX}$$

$$X=K$$

$$X=N$$

$$\tau_J = \sum m_{JX}$$

$$X=K$$

میبینیم که مقدار لنگر دورانی هر گره برحسب لنگر دورانی سایر گرهها بدست آمده است که با تقریبات متوالی مقدار عددی آن حساب میشود.

روش تاکابایا : خیلی شبیه روش کانی است با این تفاوت که بجای پیدا کردن چهار مجهول m_J و M_{JN} و M_{JM} و M_{JL} مقدار M_{JK} را حساب میکنند که از روابط بالا بدست میآید.

$$m_J = -\frac{1}{2\rho_J} \left(\tau_J + \sum_{X=K} K_{JX} m_X \right)$$

بنابراین مقدار مجهولات به $\frac{1}{4}$ تقلیل پیدا میکند.

چنانچه قاب تغییر مکان افقی داشته باشد به تعداد طبقات تغییر مکان مجهول خواهیم داشت و در عوض بهمان تعداد معادلاتی از تعادل طبقات پیدا میشود.

روشهای ماتریسی : حل قابها بر اساس ماتریسی بر دونوع است :

۱ - روش تغییر مکان یا روش سختی Displacement Method or Stiffness Method

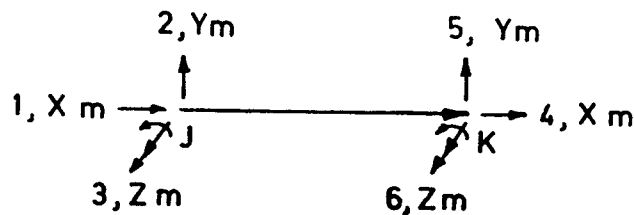
در این روش تغییر مکان گرهها را مجهول فرض کرده و از تعادل گرههای این تغییر مکانها و سپس نیروهای انتهائی را حساب میکنند.

۲ - روش نیرو یا روش نرمی Force Method or Flexibility Method که در آن آنقدر

گیرداریها را باز میکنند (در اعضاء قاب بریدگی ایجاد مینمایند و یا گرههای گیردار را در یک یا چند جهت آزاد میکنند) که قاب بصورت معین در آید و بجای این گیرداریها نیروها و لنگرهای مجهول قرار میدهند، سپس قاب معین را برحسب این نیروهای مجهول حل کرده و مقادیر مجهول را از شرط توانق هندسی پیدا مینمایند.

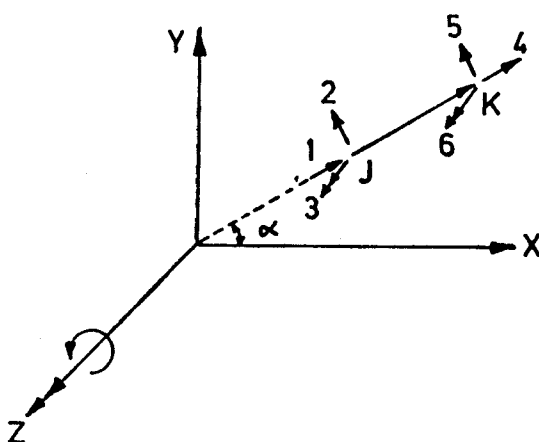
بیشتر روش اول یعنی روش تغییر مکان مورد استفاده قرار میگیرد ، روش دوم یعنی روش نیرو و روشنی است خسته کننده و غیر عملی که حتی پیدا کردن محل مناسبی برای آزاد کردن گیرداریها کاریست دشوار . روش تغییر مکان : این روش شبیه ضریب زاویه تغییر مکان بوده و نیروهای انتهائی اعضاء برابر است با نیروهای انتهائی گیرداری پلاکه نیروهای حاصل از تغییر مکان گره ها ، از تعادل گره ها ، تغییر مکانها حساب شده و سپس مقادیر عددی نیروهای انتهائی بدست میآیند .

در روش های کلاسیک دیدیم که هر گره دارای یک دوران و گاهی یک تغییر مکان افقی میباشد ، اگر بخواهیم دقیق تر باشیم بایستی بگوئیم که هر گره در قاب مسطح دارای سه تغییر مکان است که عبارتند از تغییر مکان افقی ، تغییر مکان قائم و دوران ، بنابراین در حالت کلی اعضاء دارای تغییر طول نیز خواهند بود . برای تمام قاب ، محورهای مختصات X Y Z و برای هر عضو مانند JK جهت JK و یک



شکل ۴

دستگاه مختصات محلی X_m Y_m Z_m بطوریکه محوریکه X_m در امتداد و جهت عضو میباشد در نظر میگیریم . برای سهولت تغییر مکانهای گره ابتدا (J) را با شماره از ۱ تا ۳ و تغییر مکانهای گره انتهای (K) را با شماره های از ۴ تا ۶ مشخص میکنیم .



شکل ۵

الف - نیروهای حاصل از تغییر مکان دوسر عضو نسبت به محورهای عضو .

اگر لنگرهای دوسر عضو JK را نسبت به محورهای عضو A_{m3} A_{m6} و جهت مشبت لنگر را خلاف جهت ساعت فرض کنیم ، همانطورکه در روش های کلاسیک دیدیم مقادیر آنها برابرند با :

$$A_{m3} = \frac{4EI}{L} D_{m3} + \frac{2EI}{L} D_{m6} + \frac{6EI}{L} \cdot \frac{D_{m2} - D_{m5}}{L}$$

$$A_{m6} = \frac{2EI}{L} D_{m3} + \frac{4EI}{L} D_{m6} + \frac{6EI}{L} \cdot \frac{D_{m2} - D_{m5}}{L}$$

که در آن D_m تغییر مکان گره‌های J و K است نسبت به محورهای عضو.

برای پیدا کردن نیروی برشی حاصل از تغییر مکان عضو از تعادل عضو استفاده می‌کنیم که

بدست می‌آید:

$$A_{m2} = \frac{6EI}{L^2} (D_{m3} + D_{m6}) + \frac{12EI}{L^3} (D_{m2} - D_{m5})$$

$$A_{m5} = -\frac{6EI}{L^2} (D_{m3} + D_{m6}) - \frac{12EI}{L^3} (D_{m2} - D_{m5})$$

و برای تعیین نیروی محوری از تغییر شکل محوری استفاده می‌شود.

$$A_{m1} = \frac{EA}{L} (D_{m1} - D_{m4})$$

$$A_{m4} = -\frac{EA}{L} (D_{m1} - D_{m4})$$

اگر روابط ۶ گانه بالا را بصورت ماتریسی بنویسیم داریم:

$$\begin{bmatrix} A_{m1} \\ A_{m2} \\ A_{m3} \\ A_{m4} \\ A_{m5} \\ A_{m6} \end{bmatrix} = \begin{bmatrix} \frac{EA}{L} & 0 & 0 & -\frac{EA}{L} & 0 & 0 \\ 0 & \frac{12EI}{L^3} & \frac{6EI}{L^3} & 0 & -\frac{12EI}{L^3} & \frac{6EI}{L^2} \\ 0 & \frac{6EI}{L^2} & \frac{4EI}{L} & 0 & -\frac{6EI}{L^2} & \frac{2EI}{L} \\ -\frac{EA}{L} & 0 & 0 & \frac{EA}{L} & 0 & 0 \\ 0 & -\frac{12EI}{L^3} & -\frac{6EI}{L^2} & 0 & \frac{12EI}{L^3} & -\frac{6EI}{L^2} \\ 0 & \frac{6EI}{L^2} & \frac{2EI}{L} & 0 & -\frac{6EI}{L^2} & \frac{4EI}{L} \end{bmatrix} \begin{bmatrix} D_{m1} \\ D_{m2} \\ D_{m3} \\ D_{m4} \\ D_{m5} \\ D_{m6} \end{bmatrix}$$

پس رابطه پالا نیروهای انتهائی را در اثر تغییر مکان گره‌ها بطور دقیق خواهد داد که بصورت زیر خلاصه می‌شود.

$$A_m = S_m \cdot D_m$$

S_m ماتریس سختی عضو M است و برابر است با نیروهای حاصل از تغییر مکان واحد دوسر هر عضو.
ب - تبدیل نیروهای حاصل از تغییر مکان گره‌ها از محورهای محلی به محورهای اصلی قاب. اگر تغییر مکان گره‌ها را نسبت به محورهای اصلی XYZ ، D و جزوی از آنرا که برای عضو M مورد استفاده قرار می‌گیرد بنامیم رابطه بین D_m و D_{md} بترتیب زیر است :

$$D_{m1} = D_{md1} \cdot \cos \alpha + D_{md2} \cdot \sin \alpha$$

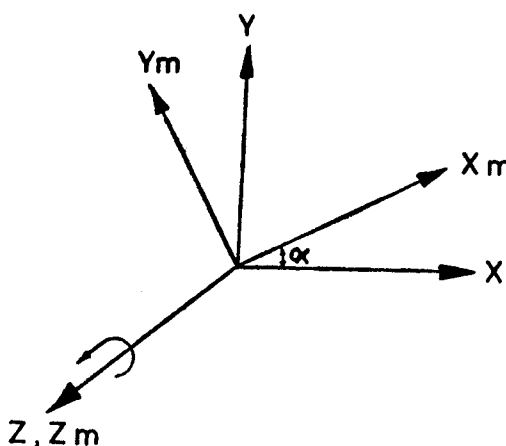
$$D_{m2} = -D_{md1} \cdot \sin \alpha + D_{md2} \cdot \cos \alpha$$

$$D_{m3} = D_{md3}$$

$$D_{m4} = D_{md4} \cdot \cos \alpha + D_{md5} \cdot \sin \alpha$$

$$D_{m5} = -D_{md4} \cdot \sin \alpha + D_{md5} \cdot \cos \alpha$$

$$D_{m6} = D_{md6}$$



شکل ۶

که اگر بصورت ماتریسی بنویسیم بصورت زیر در می‌آید :

$$\begin{bmatrix} D_{m1} \\ D_{m2} \\ D_{m3} \\ D_{m4} \\ D_{m5} \\ D_{m6} \end{bmatrix} = \begin{bmatrix} \cos \alpha & \sin \alpha & 0 & 0 & 0 & 0 \\ -\sin \alpha & \cos \alpha & 0 & 0 & 0 & 0 \\ 0 & 0 & 1 & 0 & 0 & 0 \\ 0 & 0 & 0 & \cos \alpha & \sin \alpha & 0 \\ 0 & 0 & 0 & -\sin \alpha & \cos \alpha & 0 \\ 0 & 0 & 0 & 0 & 0 & 1 \end{bmatrix} \begin{bmatrix} D_{md1} \\ D_{md2} \\ D_{md3} \\ D_{md4} \\ D_{md5} \\ D_{md6} \end{bmatrix}$$

و بطور خلاصه :

$$D_m = R_t \cdot D_{md}$$

که در آن R ماتریس انتقال است .

اگر مقدار D_m را در A_m قرار دهیم داریم :

$$A_m = S_m \cdot R_t \cdot D_{md}$$

برای آنکه بتوانیم نیروهای انتهائی اعضاء مشترک در یک گره را باهم جمع کنیم لازم است که نیروهای A_m را که نسبت به محورهای محلی حساب شده‌اند تبدیل به A_{md} که نسبت به محورهای اصلی ساختمان است بنماییم :

$$A_m = R_t \cdot A_{md}$$

ویا

$$A_{md} = R_t^{-1} \cdot A_m$$

عکس ماتریس R_t^{-1} است که با وارونه آن (R_t^*) (Transpose) مساوی است .

$$A_{md} = R_t^* \cdot A_m$$

اگر مقدار A_m را قرار دهیم خواهیم داشت :

$$A_{md} = R_t^* \cdot S_m \cdot R_t \cdot D_{md}$$

و بطور خلاصه :

$$A_{md} = S_{md} \cdot D_{md}$$

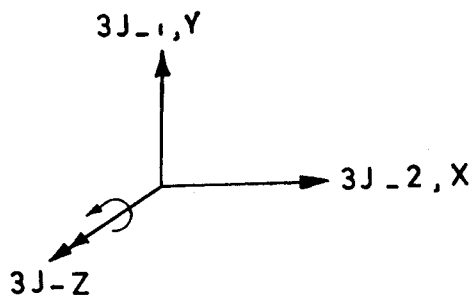
که در آن :

$$S_{md} = R_t^* \cdot S_m \cdot R_t$$

از جمع نیروهای A_{md} حاصل از تغییر مکان در هر گره رابطه زیر را خواهیم داشت .

$$A_C = S \cdot D$$

که در آن ماتریس A_C مجموع نیروهای حاصل از تغییر شکل عضوهای مختلف در هر گره میباشد S ماتریس سختی ساختمان است که هر بعد آن سه برابر گره‌ها میباشد (زیرا هر گره دارای سه تغییر ها مکان است) و از جمع ماتریس های جزئی S_{md} عضوهای مشترک در هر گره بوجود می‌آید . برای تشریح بیشتر باستی بگوئیم اگر گرهی بشماره J را در نظر بگیریم تغییر مکانهای این گره بترتیب دارای شماره های $3J-2$ و $3J-1$ و $3J$ میباشند ، بنابراین هر سطر یا ستون از 6 سطر و 6 ستون ماتریس فرعی S_{md} که متعلق به دو گره J و K عضو M میباشد ، توسط شماره گذاری بالا به یک سطر یا یک ستون ماتریس اصلی S مربوط میشود و در آنها جای میگیرد و از جمع عناصر مشترک ، ماتریس کلی S پیدا میشود .



شکل ۶

ج - نیروهای گیرداری و تبدیل آنها به محورهای اصلی.

اگر نیروهای گیرداری حاصل از بارگذاری در هر عضو را نسبت به محورهای محلی A_{mL} بگیریم نسبت به محورهای اصلی برابر است با :

$$A_{mLd} = R_t^* \cdot A_{mL}$$

از جمع عکس العمل نیروهای A_{mLd} اعضاء مشترک در هر گره (قرینه ماتریسهای A_{mLd}) ماتریس نیروهای گیرداری گرهها :

$$A_e = - \sum A_{mLd}$$

پیدا میشود که شامل دو زیرماتریس (Sub Matrix) A_{er} و A_{ed} است که بترتیب متعلق به گرههای آزاد و گیردارند. همانطور که در ماتریس S دیدیم، هر عنصر از ماتریس A_{mLd} توسط شماره گذاری که قبلابیان شد به عناصر ماتریس اصلی A_e وابسته است.

د - بارگذاری روی گرهها :

اگر ماتریس نیروهای A_j بر گرهها وارد شود این ماتریس نیز شامل دو قسمت A_{jr} و A_{je} است که اولی ماتریس نیروهای وارد بر گرهای آزاد و دومی ماتریس نیروهای معجهول عکس العمل در گرههای گیردار است.

ه - تعادل گرهها و نتیجه گیری :

از تعادل سه نوع نیروی وارد بر گرهها داریم :

$$A_e = A_j + A_c$$

بنابراین طرف چپ رابطه $A_e = S \cdot D$ توسط تساوی بالا مشخص و معلوم میشود.

حال با توجه به اینکه در هر قاب تعدادی گره گیردار وجود دارد اگر ماتریس های این رابطه را

به زیر ماتریسهای مربوط به گرههای آزاد و گیردار دسته بندی کنیم داریم :

$$\begin{bmatrix} A_d \\ \dots \\ A_r \end{bmatrix} = \begin{bmatrix} S_{dd} & S_{dr} \\ \dots & \dots \\ S_{rd} & S_{rr} \end{bmatrix} \begin{bmatrix} D_d \\ \dots \\ D_r \end{bmatrix}$$

D_d تغییر مکان گره های آزاد و D_r تغییر مکان گره های گیردار است. D_r معمولاً صفر است پس با فرض $O = D_r$ دو رابطه مهم زیر را خواهیم داشت :

$$A_d = S_{dd} \cdot D_d$$

$$A_r = S_{rd} \cdot D_d$$

از رابطه اول تغییر مکان ها را بیندا میکنیم :

$$D_d = S_{dd}^{-1} \cdot A_d$$

بنابراین نیروهای انتهائی نهائی نسبت به محورهای محلی برابر است با :

$$A_{me} = A_{mL} + A_m$$

$$A_{me} = A_{mL} + S_m \cdot D_m$$

ویا :

$$A_{me} = A_{mL} + S_m \cdot R_t \cdot D_{md}$$

از رابطه دوم با توجه به اینکه

$$A_r = A_{jr} + A_{er}$$

میباشد نیروهای عکس A_{jr} بدست می آیند.

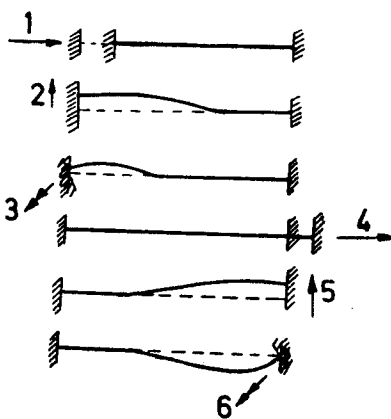
$$A_{jr} = -A_{er} + S_{rd} \cdot D_d$$

ماتریسهای S همه دو بعدی و ماتریسهای D و A ستونی میباشند.

بطوریکه دیده میشود روش های ماتریسی حل قابها را بینهایت ساده و قابل فهم کرده است و جالب اینکه مهندسین محاسب می توانند بدلخواه محاسبات را به طرفی که دلخواه آنهاست سوق دهند و از ترکیب روابط بالا نتایج مورد نظر را بدست آورند. مثلاً اگریک یا چند گره گیردار دارای تغییر شکلهای ثابتی هستند (مثل نشست یک ستون) میتوانند بجای صفر در ماتریس D_r مقدار ثابت را قرار دهند و یا میتوانند اتصال بعضی از گره ها را بصورت کاملاً لولائی و یا نیمه صلب با سایر گره ها و یا تکیه گاهها طرح و محاسبه نمایند و برای اینکار کافی است ماتریس S_m را تغییر دهند.

S_m برای انواع گانه اسکلت های ساختمانی مشخص بوده و در کتابهای محاسبات ماتریسی موجود است که در اینجا از ذکر آنها خودداری میشود، ولی با تعریفی که از ماتریس S_m شده است خیلی ساده

میتوان آنرا برای تیپهای مختلف ساختمان پیدا کرد. یک راه حل خیلی ساده اینست که هرستون از ماتریس S_m نیروهای حاصل از تغییر مکان واحد در امتداد مربوط به آن ستون است بطوریکه سایر تغییر مکانها صفر باشند. همانطوریکه قبل اشاره شد روشنی که در بسیاری از کتابها پیشنهاد شده است کمی با این روش فرق دارد و در آن روش‌ها ماتریس‌های S و A بطور مستقیم حساب می‌شوند، بنابراین مختصات محلی برای اعضاء در نظر نمی‌گیرند. همچنین ماتریس‌های S_m و R_d وغیره در آنها حساب نمی‌شود.



شکل ۷

در بعضی کتابهای نظری (Matrix methods of structural analysis) نوشته Livesley مسائل جالبی نظری قابهای با گره‌های نیمه صلب، قابهای با اعضاء ماهیچه‌ای و نیز قابهای با اعضاء غیر خطی (ساختمانهای درختی) مورد مطالعه و بررسی قرار گرفته‌اند که در اینجا به آنها اشاره‌ای نشده است. قدمهایی که باستی برای محاسبه یک قاب چه توسط کامپیووتر و چه توسط مهندسین محاسب برداشته شود بصورت زیر است:

- ۱ - تعیین طول و کسینوس دایرکتورهای هر عضو بکمک مختصات گره‌ها و تعیین ماتریس‌های R_d برای هر عضو.
- ۲ - محاسبه ماتریس‌های S_m و S_{md} برای هر عضو، تشکیل ماتریس کلی S و جدا کردن دوزیر ماتریس S_{dd} و S_{rd} از آن.
- ۳ - پیدا کردن عکس ماتریس S_{dd} .
- ۴ - محاسبه ماتریس‌های A_e و A_{mLd} و A_{mL} برای A_{ed} و A_{ed} و جدا کردن زیرماتریس‌های A_{ed} و A_{er}

نهز محاسبه زیر ماتریس:

$$A_d = A_{jd} + A_{ed}$$

- ۵ - پیدا کردن ماتریس تغییر مکان گره‌ها D_d بکمک عکس ماتریس S_{dd} و تشکیل ماتریس D
- ۶ - جدا کردن ماتریس‌های D_{md} از ماتریس کلی D ، تبدیل آنها به D_m که نسبت به دستگاه مختصات محلی است و پیدا کردن ماتریس نیروهای انتهائی هر عضو، A_{me} .

۷ - پیدا کردن ماتریس عکس العمل تکیه گاهها ، A_{jr} .

جوابهای که کامپیوتر بما خواهد داد عبارتند از: تغییر مکان گره‌ها، نیروهای انتهائی اعضاء و نیروهای عکس العمل گره‌های گیردار.

Flow Chart (شمای جریان) برنامه، برای نشان دادن مراحل مختلف برنامه بسیار مفید خواهد

بود، که در زیر بنظر خواننده گان عزیز میرسد.

در حل دستی (بدون کامپیوتر) برای شماره گذاری گره‌ها بهتر است گره‌های آزاد را اول و بعد از آنها گره‌های گیردار را شماره گذاری نماییم، با توجه به شماره گذاری تغییر مکانهای مربوط به گره J که در محاسبه ماتریس سختی S بیان شد، این نوع شماره گذاری از این نظر مفید است که تجزیه ماتریسها را به ماتریس‌های فرعی مربوط به گره‌های آزاد و گیردار آسان می‌سازد، زیرا اگر درجه آزادی (تعداد امتدادهایی که در آنها تغییر مکان وجود دارد) n و مجموع درجات آزادی و گیرداری (تعداد کل امتدادها که در قاب مسطح سه برابر تعداد گره‌های مربوط شده باشند) را n' بگیریم، اندیس 1 تا n' مربوط به امتدادهای آزاد و ماتریس 1 تا n' مربوط به امتدادهای گیردار خواهد بود. در ضمن باستی توجه کرد که طول بعد تمام ماتریس‌های اصلی برای n' می‌باشد. اگر گره یا گره‌هایی کاملاً گیردار نباشند (مثلًا لولا در قاب مسطح) قانون بالا صدق نخواهد بود، در این موقع دو راه حل وجود دارد:

۱ - قانونی که در مورد شماره گذاری تغییر مکانهای گره J قبل از آن شده است در مورد این نوع گره‌ها رعایت نشود، بلکه شماره گذاری امتدادهای آزاد گره‌های نیمه گیردار انجام شده و سپس امتداد گیردار این گره‌ها شماره گذاری شود.

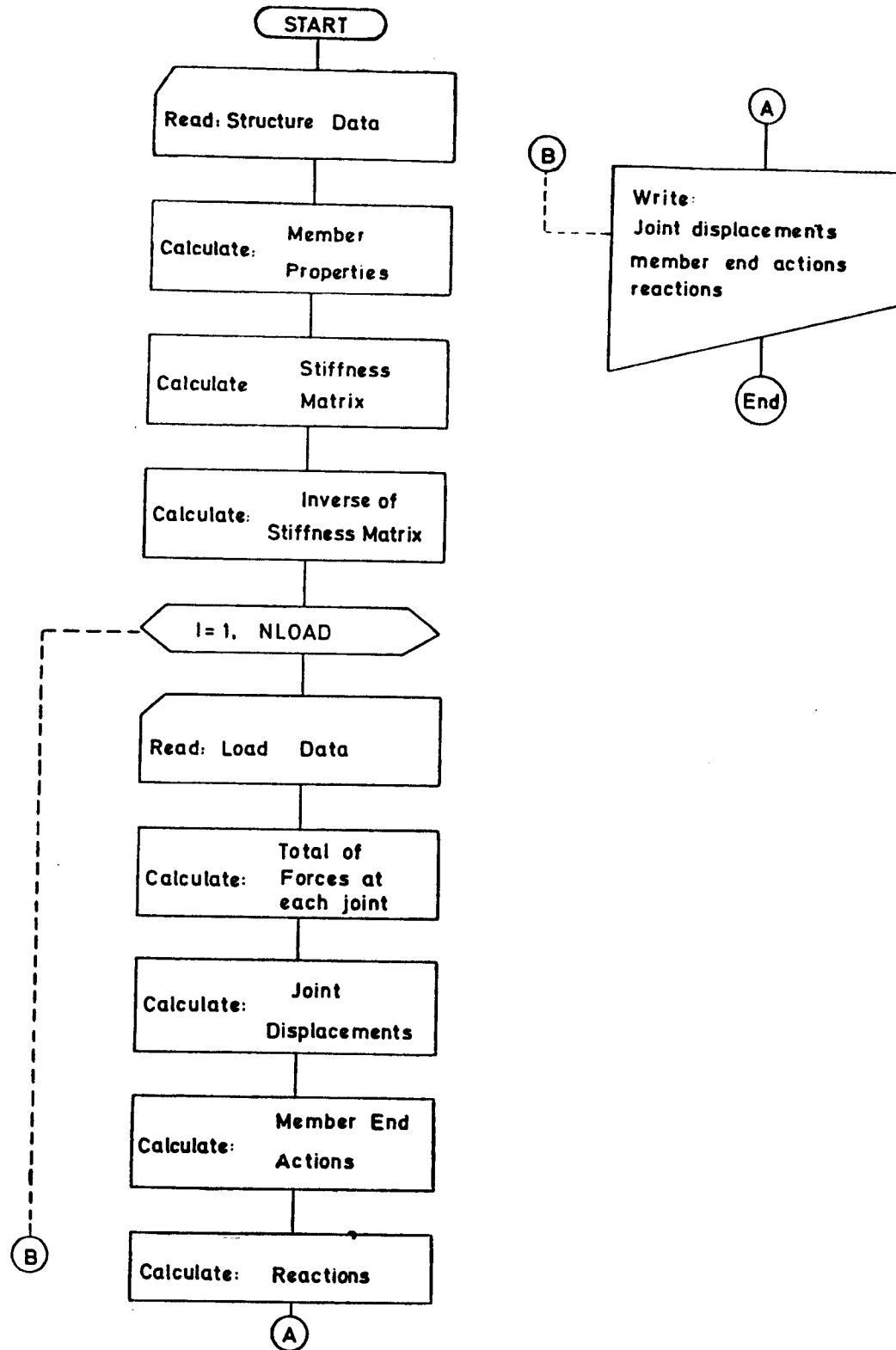
۲ - قانون شماره گذاری تغییر مکانها را تغییر ندهیم در عوض پس از بدست آوردن ماتریسها محل سطر و ستونهای مربوط به امتدادهای آزاد گره‌های نیمه گیردار را که در منطقه مربوط به گره‌های گیردار واقع شده تغییر داده و در محل گره‌های آزاد جای دهیم.

نکاتی که بنظر نویسنده برای آشنائی علاقمندان محاسبات ماتریسی به این روش جالب و مفید لازم می‌آید در اینجا با تمام میرسد امید است که اگر مطالب بالا کامل نبوده است، توانسته باشد ایده‌ای از محاسبات ماتریسی در ذهن خواننده مجسم نماید.

در هر حال علاقمندان می‌توانند یکی از راههای زیر را انتخاب نمایند:

۱ - مستقیماً و بدون استفاده از کامپیوتر از روش‌های ماتریسی برای حل قابها استفاده نمایند (برای قابهای بزرگ خسته کننده است).

۲ - برنامه‌های لازم را بر روی کامپیوتر بیاده نموده و سپس بكمک کامپیوتر از این روش در حل قابها استفاده نمایند.



۳ - از برنامه های نوشته شده موجود شخصاً و یا بکمک مراکزی که خدمات مربوط به کامپیوتر را انجام میدهد استفاده نمایند.

برنامه ای که اینجانب نوشته ام قادر است قابهای تا 300 گره را حل نماید.

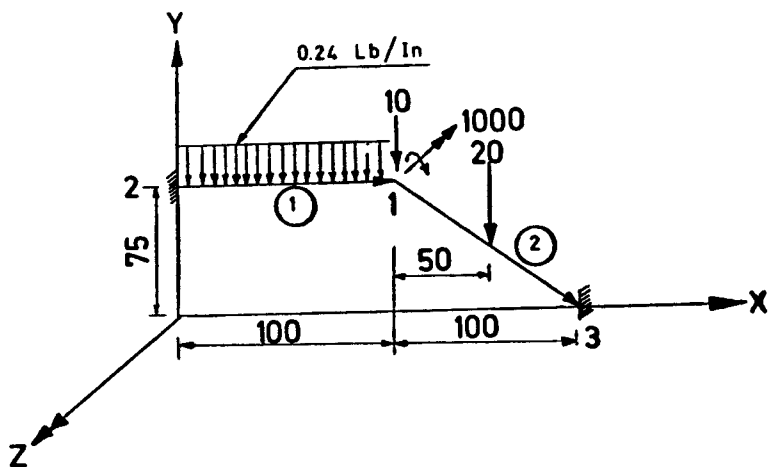
برای حل معادله (و یا پیدا کردن عکس ماتریس) دو راه حل وجود دارد:

۱ - روش حذفی (گوس - جordon Gauss-Jordan) - که در آن از ترکیب معادلات (و یا سطور ماتریس) تمام عناصر غیر از عناصر قطر را صفر کرده و معادله را حل مینمایند (و یا عکس ماتریس را پیدا مینمایند).

۲ - روش چولسکی (Cholesky) - با توجه به آنکه ماتریس سختی حاصله در روش تغییر مکان مقایر نست میتوان این ماتریس را بحاصه ضرب دو ماتریس مثلثی (عناصر یک طرف قطر اصلی صفراند) که وارونه یکدیگرند تجزیه کرده و سپس معادله را حل کرد. (و یا عکس ماتریس را حساب کرد).

روش دوم برای Computer فوق العاده مفید است زیرا مقدار زیادی از عناصر ماتریس سختی در گوشها برابر صفراند و در واقع این ماتریس بصورت یک نوار بازیک در امتداد قطر اصلی میباشد، ماتریس های مثلثی که از تجزیه ماتریس S_{dd} پیدا میشوند نیز بصورت نوار بازیک باقی خواهد ماند و چون عناصر این نوار بازیک خیلی کم است نگهداری آنها بحافظه کمتری احتیاج دارد. برای مطالعه بیشتر بمانده هایی که در آخر مقاله نوشته شده مراجعه نمائید.

برای تکمیل مقانه دو مثال از کتاب.



شکل ۹

William Weaver (Computer Programs For Structural Analysis) نوشته مینماییم. برای اینکه خوانندگان را علاوه بر روش های ماتریسی آشنای کنیم مثال اول را بدون استفاده از کامپیوتر ولی مثال دوم را توسط کامپیوتر حل مینماییم.

مثال ۱ -

اطلاعات مربوط به ساختمان :
واحد طول اینچ و واحد نیرو پاوند است.

2 تعداد اعضاء ساختمان

3 تعداد گره ها

2 تعداد گره های گیردار

6 تعداد گیرداریها

3 تعداد آزادیها

اينچ سربع / پاوند 10000. ضریب ارجاعی

مشخصات گره ها :

شماره گره	X	طول	Y	عرض
1	100.		75.	
2	0.		75.	
3	200.		0.	

مشخصات اعضاء :

شماره عضو	گره شروع	گره ختم	سطح مقطع	ممان دینرسی
1	2	1	10.	1000.
2	1	3	10.	1000.

گره های 2 ، 3 کاملاً گیردارند .

اطلاعات مربوط به بارگذاری : فقط یک حالت بارگذاری داریم برتریب زیر :

1 تعداد گره های بارگذاری شده

2 تعداد عضوهای بارگذاری شده

بارگذاری روی گره :

شماره گره	نیروی افقی	نیروی قائم	لنگر
1	0.	-10.	-1000.

بارگذاری روی عضو :

راست	(فاصله نیرو نیرو یا شدت نیرو)	نیروی افقی	نیروی قائم	نیروی شدت نیرو	فاصله نیرو	شماره عضو
-	-	0.	.24	0.	0.	1
-	-	20.	متمرکز	62.5	-	2

حل :

قدم اول - طول اعضاء :

$$L(1) = 100.$$

ماتریس انتقال :

$$L(2) = \sqrt{100^2 + 75^2} = 125.$$

$$R_t(1) = \begin{bmatrix} 1 & 0 & 0 & 0 & 0 & 0 \\ 0 & 1 & 0 & 0 & 0 & 0 \\ 0 & 0 & 1 & 0 & 0 & 0 \\ 0 & 0 & 0 & 1 & 0 & 0 \\ 0 & 0 & 0 & 0 & 1 & 0 \\ 0 & 0 & 0 & 0 & 0 & 1 \end{bmatrix} \quad R_t(2) = \begin{bmatrix} .8 & -.6 & 0 & 0 & 0 & 0 \\ .6 & .8 & 0 & 0 & 0 & 0 \\ 0 & 0 & 1 & 0 & 0 & 0 \\ 0 & 0 & 0 & .8 & -.6 & 0 \\ 0 & 0 & 0 & 6 & -.8 & 0 \\ 0 & 0 & 0 & 0 & 0 & 1 \end{bmatrix}$$

قدم دوم - ماتریس ساختی :

ماتریسهای S_m :

$$S_m(1) = \begin{bmatrix} 1000. & 0 & 0 & -1000. & 0 & 0 \\ 0 & 120. & 6000. & 0 & -120. & 6000. \\ 0 & 6000. & 400000. & 0 & -6000. & 200000. \\ -1000. & 0 & 0 & 1000. & 0 & 0 \\ 0 & -120. & -6000. & 0 & 120. & -6000. \\ 0 & 6000. & 200000. & 0 & -6000. & 400000. \end{bmatrix}$$

$$S_m(2) = \begin{bmatrix} 800. & 0 & 0 & -800. & 0 & 0. \\ 0 & 61.44 & 3840. & 0 & -61.44 & 3840. \\ 0 & 3840. & 320000. & 0 & -384. & 160000. \\ -800. & 0 & 0 & 800. & 0 & 0 \\ 0 & -61.44 & -3840. & 0 & 61.44 & -3840. \\ 0 & 3840. & 160000. & 0 & -384. & 320000. \end{bmatrix}$$

: S_{md}

$$S_m(2) \cdot R_t(2) =$$

$$\begin{bmatrix} 640. & -480. & 0 & -640. & 480. & 0 \\ 36.86 & 49.15 & 3840. & -36.86 & -49.15 & 3840. \\ 2304. & 3072. & 320000. & -2304. & -3072. & 160000. \\ -640. & 480. & 0 & 640. & -480. & 0 \\ -36.86 & -49.15 & -3840. & 36.86 & 49.15 & -3840. \\ 2304. & 3072. & 160000. & -2304. & -3072. & 320000. \end{bmatrix}$$

$$R_t^*(2) \cdot S_m(2) \cdot R_t(2) = S_{md}(2) =$$

	(1)	(2)	(3)	(7)	(8)	(9)
(1)	534.11	-354.51	2304	-534.11	354.51	2304.
(2)	-354.51	327.32	3072.	354.51	-327.32	3072.
(3)	2304.	3072.	320000.	-2304.	-3072.	160000.
(7)	-534.11	354.51	-2304.	534.11	-354.51	-2304.
(8)	354.51	-327.32	-3072.	-354.51	327.32	-3072.
(9)	2304.	3072.	160000.	-2304.	-3072.	320000.

$$S_{md}(1) = S_m(1) =$$

	(4)	(5)	(6)	(1)	(2)	(3)
(4)	1000.	0	0	-1000.	0	0
(5)	0	120.	6000.	0	-120.	6000.
(6)	0	6000.	400000.	0	-6000.	200000.
(1)	-1000.	0	0	1000.	0	0
(2)	0	-120.	-6000.	0	120.	-6000.
(3)	0	6000.	200000.	0	-6000.	400000.

شماره سطرها (در طرف چپ) و شماره ستونهای (در بالا) ماتریس S_{md} در ماتریس اصلی S کنار ماتریس‌های S_{md} نوشته شده است که توسط این شماره‌گذاری‌ها هرسطر و ستون در محل خود جای گرفته و ماتریس S را تشکیل میدهند:

1534.11	-354.51	2304.	-1000.	0	0	-534.11	354.11	2304.
-354.51	447.32	-2928.	0	-120	-6000.	354.51	-327.32	3072.
2304.	-2928.	720000.	0	6000.	200000.	-2304.	-3072.	160000.
<hr/>								
-1000.	0	0	1000.	0	0	0	0	0
0	-120.	6000.	0	120.	6000.	0	0	0
0	-6000.	200000.	0	6000.	400000.	0	0	0
-534.11	354.11	-2304.	0	0	0	534.11	-354.51	-2304.
354.51	-327.32	-3072.	0	0	0	-354.51	327.32	-3072.
2304.	3072.	160000.	0	0	0	-2304.	-3072.	320000.

زیر ماتریس‌های S_{dd} و S_{rd} را جدا می‌کنیم :

$$S_{dd} = \begin{bmatrix} 1534.11 & -354.51 & 2304. \\ -354.51 & 447.32 & -2928. \\ 2304. & -2928. & 720000. \end{bmatrix}$$

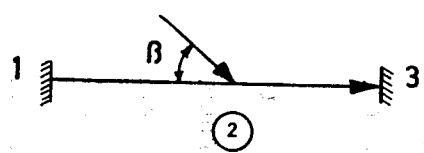
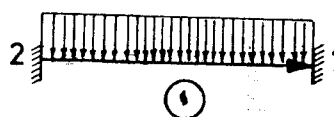
$$S_{rd} = \begin{bmatrix} -1000. & 0 & 0 \\ 0 & -120. & 6000. \\ 0 & -6000. & 200000. \\ -534.11 & 354.11 & -2304. \\ 354.11 & -327.32 & -3072. \\ 2304. & 3072. & 160000. \end{bmatrix}$$

قدم سوم - عکس ماتریس S_{dd}

$$S_{dd}^{-1} = \begin{bmatrix} 0.000797986800 & 0.000632543800 & 0.000000018786 \\ 0.000632543800 & 0.002798076000 & 0.000009354699 \\ 0.000000018786 & 0.000009354699 & 0.000001426871 \end{bmatrix}$$

قدم چهارم - جمع نیروهای واردہ برگرهای :

ماتریس‌های A_{mL} :



شکل ۱۰

$$A_{mL}(1) = \begin{bmatrix} 0 \\ 12. \\ 200. \\ 0 \\ 12. \\ -200. \end{bmatrix} \quad \text{و} \quad A_{mL}(2) = \begin{bmatrix} -6. \\ 8. \\ 250. \\ -6. \\ 8. \\ -250. \end{bmatrix}$$

ماتریس‌های A_{mLd} :

$$A_{mLd}(2) = \begin{bmatrix} (1) & 0 \\ (2) & 10. \\ (3) & 250. \\ (7) & 0 \\ (8) & 10. \\ (9) & -250. \end{bmatrix}, \quad A_{mLd}(1) = A_{mL}(1) = \begin{bmatrix} (4) & 0 \\ (5) & 12. \\ (6) & 200. \\ (1) & 0 \\ (2) & 12. \\ (3) & -200. \end{bmatrix}$$

چنانکه دیده میشود شماره عناصر ماتریس‌های A_{mLd} در ماتریس اصلی A_e (که توسط این شماره در ماتریس A_e جای میگیرند) در کنار ماتریس‌های A_{mLd} نوشته شده است که بکمک آنها ماتریس A_e پیدا میشود :

$$A_e = \begin{bmatrix} 0 \\ -22. \\ -50. \\ \hline 0 \\ -12. \\ -200. \\ 0 \\ -10. \\ 250. \end{bmatrix}$$

زیرماتریس‌های A_{ed} و A_{er} را جدا میکنیم :

$$A_{ed} = \begin{bmatrix} 0 \\ -22. \\ -50. \end{bmatrix} \quad A_{er} = \begin{bmatrix} 0 \\ -12. \\ -200. \\ 0 \\ -10. \\ 250. \end{bmatrix}$$

ماتریس $A_d = A_{jd} + A_{ed}$: چنانکه در اطلاعات مربوط به بارگذاری دیدیم زیر ماتریس نیروهای واردہ برگره آزاد شماره 1 برابر A_{jd} است :

$$A_{jd} = \begin{bmatrix} 0 \\ -10. \\ -1000. \end{bmatrix} \quad A_d = \begin{bmatrix} 0 \\ -32. \\ -1050. \end{bmatrix}$$

قدم پنجم - بدست آوردن ماتریس تغییر مکان D که شامل زیر ماتریس A_d و زیر

ماتریس $D_r = 0$ است :

$$D_d = \begin{bmatrix} -0.0202607 \\ -0.0993600 \\ -0.0017975 \end{bmatrix} \quad D = \begin{bmatrix} -0.0202607 \\ -0.0993600 \\ -0.0017975 \\ 0 \\ 0 \\ 0 \\ 0 \\ 0 \\ 0 \\ 0 \end{bmatrix}$$

قدم ششم - نیروهای انتهائی هر عضو - برای بدست آوردن این نیروها اول بایستی ماتریسهای D هر عضو را که تغییر مکان گره های دو سر عضو ها را میدهد از ماتریس اصلی D جدا کرده و سپس D_{md} ماتریس های D_m را حساب کرد :

$$D_{md}(1) = \begin{bmatrix} 0 \\ 0 \\ 0 \\ -0.0202607 \\ -0.0993600 \\ -0.0017975 \end{bmatrix} \quad D_{md}(2) = \begin{bmatrix} -0.0202607 \\ -0.0993600 \\ -0.0017975 \\ 0 \\ 0 \\ 0 \end{bmatrix}$$

$$D_m(1) = D_{md}(1), \quad D_m(2) = \begin{bmatrix} 0.0434074 \\ -0.0916444 \\ -0.0017975 \\ 0 \\ 0 \\ 0 \end{bmatrix}$$

$$S_m(1) \cdot D_m(1) = \begin{bmatrix} 20.26 \\ 1.13 \\ 236.65 \\ -20.26 \\ -1.13 \\ -122.86 \end{bmatrix} \quad S_m(2) \cdot D_m(2) = \begin{bmatrix} 34.72 \\ -12.53 \\ -927.13 \\ -34.72 \\ 12.53 \\ -639.52 \end{bmatrix}$$

نیووهای انتهائی اعضاء برابر مقادیر زیرند :

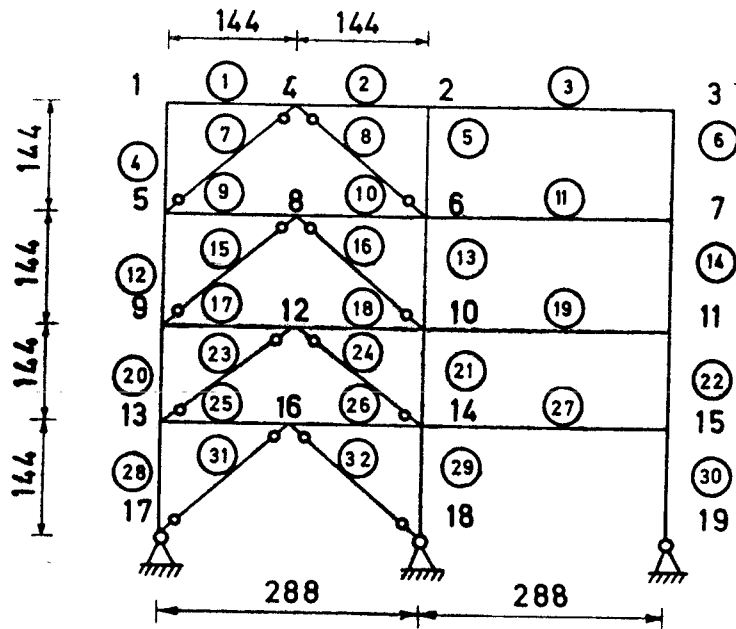
$$A_{me}(1) = \begin{bmatrix} 20.26 \\ 13.13 \\ 436.65 \\ -20.26 \\ 10.86 \\ -322.86 \end{bmatrix} \quad A_{me}(2) = \begin{bmatrix} 28.72 \\ -4.53 \\ -677.13 \\ -40.72 \\ 20.53 \\ -889.52 \end{bmatrix}$$

قدم هفتم - نیروهای مکس العمل :

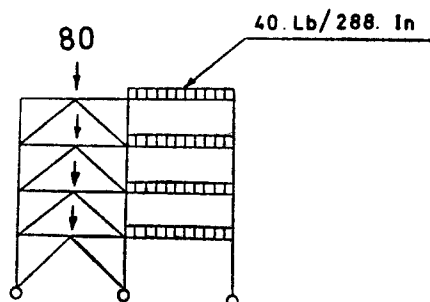
$$S_{rd} \cdot D_d = \begin{bmatrix} 20.26 \\ 1.13 \\ 239.65 \\ -20.26 \\ 30.86 \\ -639.52 \end{bmatrix} \quad A_{jr} = \begin{bmatrix} 20.26 \\ 13.13 \\ 436.65 \\ -20.26 \\ 40.86 \\ 889.52 \end{bmatrix}$$

۳ عنصر اول ماتریس A_{jr} نیروهای عکس العمل (نیروی افقی ، نیروی عمودی و لنگر خمی) گره ۲ و ۳ عنصر دوم نیروهای عکس العمل گره ۳ می باشند .
مثال ۲ -

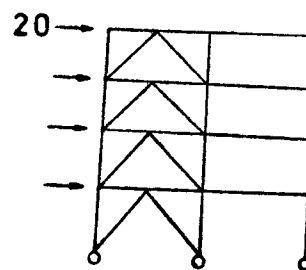
مطابق شکل ۱۱ ساختمان از دو دهنه و چهار طبقه تشکیل شده است ، چون ابعاد ساختمان به تکیه گاهها لولائی می باشد ، یک دهنه بوسیله بادبند تقویت شده است .
شکلهاي ۱۲ و ۱۳ بارگذاري هاي ۱ و ۲ را مشخص می کنند .



شكل ١١



شكل ١٢



شكل ١٣

SAMPLE 2 PLANE FRAME FROM BOOK COMPUTER PROG. FOR STRUCTURAL ANALYSIS BY WEAVER

STRUCTURE DATA

TYPE	PLANE FRAME
NUMBER OF MEMBERS	32
NUMBER OF JOINTS	19
NUMBER OF SUPPORTS	3
NUMBER OF LOADINGS	2
CONSTANT E	300000.00

COORDINATE OF JOINTS

JOINT	X	Y
1	0.0	576.00
2	288.00	576.00
3	576.00	576.00
4	144.00	576.00
5	0.0	432.00
6	288.00	432.00
7	576.00	432.00
8	144.00	432.00
9	0.0	288.00
10	288.00	288.00
11	576.00	288.00
12	144.00	288.00
13	0.0	144.00

VV

14		288.00	144.00
15		576.00	144.00
16		144.00	144.00
17		0.0	0.0
18		288.00	0.0
19		576.00	0.0

MEMBER INFORMATION

MEMBER	SRT	END	A	IZ
1	1	4	10.0000	500.0000
2	4	2	10.0000	500.0000
3	2	3	10.0000	500.0000
4	1	5	15.0000	250.0000
5	2	6	15.0000	250.0000
6	3	7	15.0000	250.0000
7	5	4	5.0000	0.0
8	4	6	5.0000	0.0
9	5	8	10.0000	500.0000
10	8	6	10.0000	500.0000
11	6	7	10.0000	500.0000
12	5	9	15.0000	250.0000
13	6	10	15.0000	250.0000
14	7	11	15.0000	250.0000

15	9	8	5.0000	0.0
16	8	10	5.0000	0.0
17	9	12	10.0000	500.0000
18	12	10	10.0000	500.0000
19	10	11	10.0000	500.0000
20	9	13	15.0000	250.0000
21	10	14	15.0000	250.0000
22	11	15	15.0000	250.0000
23	13	12	5.0000	0.0
24	12	14	5.0000	0.0
25	13	16	10.0000	500.0000
26	16	14	10.0000	500.0000
27	14	15	10.0000	500.0000
28	13	17	15.0000	250.0000
29	14	18	15.0000	250.0000
30	15	19	15.0000	250.0000
31	17	16	5.0000	0.0
32	16	18	5.0000	0.0

JOINT RESTRAINTS

JOINT	X	Y	Z
17	1	1	0
18	1	1	0
19	1	1	0

v8

SAMPLE 2 PLANE FRAME FROM BOOK COMPUTER PROG. FOR STRUCTURAL ANALYSIS BY WEAVER

DATA FOR LOADING NO. 1

NUMBER OF LOADED JOINTS 4

NUMBER OF LOADED MEMBERS 4

JOINT LOADS

JOINT	FORCE-X	FORCE-Y	MOMENT-Z
4	0.0	-80.00	0.0
8	0.0	-80.00	0.0
12	0.0	-80.00	0.0
16	0.0	-80.00	0.0

MEMBER LOADS

MEMBER	DRN	TYPE	P1	L1	P2	L2
3	2	2	-40.00	0.0	0.0	0.0
11	2	2	-40.00	0.0	0.0	0.0
19	2	2	-40.00	0.0	0.0	0.0
27	2	2	-40.00	0.0	0.0	0.0

SAMPLE 2 PLANE FRAME FROM BOOK COMPUTER PROG. FOR STRUCTTAL ANALYSIS BY WEAVER

LOADING NO. 1

JOINT DISPLACEMENTS

JOINT	X-DISPLACE.	Y-DISPLACE.	ROTATION
1	0.059333	-0.081432	-0.001067
2	0.056029	-0.150649	-0.000979
3	0.048566	-0.062638	-0.002512
4	0.058253	-0.219593	0.000151
5	0.014117	-0.080039	-0.000598
6	0.047452	-0.141449	-0.000587
7	0.049456	-0.056558	0.001082
8	0.031223	-0.200474	-0.000024
9	-0.006841	-0.065941	-0.000501
10	0.026776	-0.113413	-0.000671
11	0.026118	-0.044045	0.001214
12	0.010376	-0.165496	0.000046
13	-0.018427	-0.039186	-0.000311
14	0.016685	-0.066298	-0.000970
15	0.020931	-0.025154	0.001650
16	-0.000740	-0.097418	0.000179
17	0.0	0.0	0.000347
18	0.0	0.0	0.000311
19	0.0	0.0	-0.001043

<

MEMBER END-ACTIONS

2

MEMBER	JOINT	AXIAL-FORCE	SHEAR-FORCE	MOMENT	JOINT	AXIAL-FORCE	SHEAR-FORCE	MOMENT
1	1	2.250	4.352	186.46	4	-2.250	-4.352	440.27
2	4	4.634	-7.750	-440.27	2	-4.634	7.750	-675.72
3	2	7.773	21.000	922.19	3	-7.773	19.000	-634.14
4	1	4.352	-2.250	-186.46	5	-4.352	2.250	137.54
5	2	28.750	-3.139	-246.47	6	-28.750	3.139	-205.58
6	3	19.000	7.773	634.14	7	-19.000	-7.773	486.20
7	5	49.696	0.0	0.0	4	-49.696	0.0	0.0
8	4	46.325	0.0	0.0	6	-46.325	0.0	0.0
9	5	-35.638	4.563	268.96	8	35.638	-4.563	388.31
10	8	-33.811	-6.207	-388.31	6	33.811	6.207	-505.56
11	6	-2.087	19.898	858.41	7	2.087	20.102	-887.76
12	5	44.056	-1.753	-131.22	9	-44.056	1.753	-121.18
13	6	87.612	-2.107	-147.27	10	-87.612	2.107	-156.10
14	7	39.101	5.686	402.56	11	-39.101	-5.686	416.28
15	9	50.244	0.0	0.0	8	-50.244	0.0	0.0
16	8	47.661	0.0	0.0	10	-47.661	0.0	0.0
17	9	-35.868	4.025	232.84	12	35.868	-4.025	346.81
18	12	-34.167	-5.854	-346.81	10	34.167	5.854	-496.24
19	10	0.685	20.066	861.31	11	-0.685	19.934	-852.30
20	9	83.609	-1.413	-111.66	13	-83.609	1.413	-91.85
21	10	147.234	-3.257	-218.97	14	-147.234	3.257	-250.03

22	11	59.035	6.371	436.02	15	-59.035	-6.371	481.42
23	13	50.785	0.0	0.0	12	-50.785	0.0	0.0
24	12	48.380	0.0	0.0	14	-48.380	0.0	0.0
25	13	-36.847	2.937	160.44	16	36.847	-2.937	262.51
26	16	-36.302	-5.308	-262.51	14	36.302	5.308	-501.79
27	14	-4.423	20.428	885.22	15	4.423	19.572	-761.93
28	13	122.457	-0.476	-68.59	17	-122.457	0.476	-0.00
29	14	207.180	-0.926	-133.39	18	-207.180	0.926	0.00
30	15	78.607	1.948	280.50	19	-78.607	-1.948	-0.00
31	17	51.124	0.0	0.0	16	-51.124	0.0	0.0
32	16	50.353	0.0	0.0	18	-50.353	0.0	0.0

SUPPORT REACTIONS

JOINT	FORCE-X	FORCE-Y	MOMENT-Z
17	36.626	158.607	0.0
18	-34.679	242.786	0.0
19	-1.948	78.607	0.0

SAMPLE 2 PLANE FRAME FROM BOOK COMPUTER PROG. FOR STRUCTURAL ANALYSIS BY WEAVER

DATA FOR LOADING NO. 2

NUMBER OF LOADED JOINTS 4

NUMBER OF LOADED MEMBERS 0

JOINT LOADS

JOINT	FORCE-X	FORCE-Y	MOMENT-Z
1	20.00	0.0	0.0
5	20.00	0.0	0.0
9	20.00	0.0	0.0
13	20.00	0.0	0.0

SAMPLE 2 PLANE FRAME FROM BOOK COMPUTER PROG. FOR STRUCTURAL ANALYSIS BY WEAVER

LOADING NO. 2

JOINT DISPLACEMENTS

JOINT	X-DISPLACE.	Y-DISPLACE.	ROTATION
1	0.382335	0.030960	-0.000253
2	0.372196	-0.027542	-0.000191
3	0.371417	-0.002468	-0.000107
4	0.372920	0.005268	-0.000194
5	0.323719	0.030835	-0.000384
6	0.314306	-0.027805	-0.000293
7	0.314151	-0.002304	-0.000315

8			0.310078	0.004818	— 0.000136
9			0.237724	0.027704	— 0.000501
10			0.228280	— 0.025363	— 0.000381
11			0.228014	— 0.001868	— 0.000433
12			0.219543	0.003792	— 0.000056
13			0.129905	0.018430	— 0.000529
14			0.121347	— 0.017133	— 0.000339
15			0.122144	— 0.001092	— 0.000462
16			0.106754	— 0.000868	0.000032
17			0.0	0.0	— 0.001089
18			0.0	0.0	— 0.001094
19			0.0	0.0	— 0.001042

MEMBER END-ACTIONS

MEMBER	JOINT	AXIAL-FORCE	SHEAR-FORCE	MOMENT	JOINT	AXIAL-FORCE	SHEAR-FORCE	MOMENT
1	1	19.614	— 0.392	- 34.44	4	— 19.614	0.392	— 21.99
2	4	1.508	0.310	21.99	2	— 1.508	— 0.310	22.64
3	2	0.811	19.489	881.98	3	— 0.811	20.511	- 1029.27
4	1	— 0.392	0.384	34.44	5	0.392	— 0.384	20.87
5	2	— 0.821	0.695	55.37	6	0.821	— 0.695	44.68
6	3	0.511	0.811	69.27	7	— 0.511	— 0.811	47.58
7	5	— 12.310	0.0	0.0	4	12.310	0.0	0.0
8	4	13.303	0.0	0.0	6	— 13.303	0.0	0.0

9	5	28.417	-0.688	-75.33	8	-28.417	0.688	-23.76
10	8	-8.807	0.103	23.76	6	8.807	-0.103	-8.98
11	6	0.161	19.148	838.43	7	-0.161	20.852	-1083.81
12	5	-9.784	0.671	54.46	9	9.784	-0.671	42.22
13	6	7.630	1.129	85.87	10	-7.630	-1.129	76.70
14	7	1.363	0.973	76.24	11	-1.363	-0.973	63.93
15	9	-25.765	0.0	0.0	8	25.765	0.0	0.0
16	8	26.884	0.0	0.0	10	-26.884	0.0	0.0
17	9	37.876	-0.976	-116.69	12	-37.876	0.976	-23.87
18	12	-18.202	-0.139	23.87	10	18.202	0.139	-43.95
19	10	0.277	18.939	809.97	11	-0.277	21.061	-1115.41
20	9	-28.980	1.014	74.47	13	28.980	-1.014	71.60
21	10	25.719	1.659	117.28	14	-25.719	-1.659	121.66
22	11	2.424	1.250	91.48	15	-2.424	-1.250	88.49
23	13	-39.062	0.0	0.0	12	39.062	0.0	0.0
24	12	40.246	0.0	0.0	14	-40.246	0.0	0.0
25	13	48.230	-0.994	-129.94	16	-48.230	0.994	-13.16
26	16	-30.401	-0.354	13.16	14	30.401	0.354	-64.15
27	14	-0.830	19.010	823.83	15	0.830	20.990	-1108.91
28	13	-57.594	0.405	58.33	17	57.594	-0.405	-0.00
29	14	53.541	0.546	78.66	18	-53.541	-0.546	-0.00
30	15	3.414	0.420	60.41	19	-3.414	-0.420	-0.00
31	17	-55.149	0.0	0.0	16	55.149	0.0	0.0
32	16	56.053	0.0	0.0	18	-56.053	0.0	0.0

SUPPORT REACTIONS

JOINT	FORCE-X	FORCE-Y	MOMENT-Z
17	-39.401	-96.590	0.0
18	-40.182	93.177	0.0
19	-0.420	3.414	0.0

AN

مطالعه منابع

- 1 - Asplund, Svenolof , 1902. Structural mechanics : classical and matrix methods . Englewood cliffs , N. J. , Prentice - Hall (1966)
- 2 - Beaufait , Fred M . Computer methods of structural analysis , By Fred W . Beaufait , William H. Rowan , Jr. , Peter G. Hoadley and Robert M. Hackett.
- 3 - Bellman , Richard Ernest , 1920. Introduction to matrix analysis. New York , Mc Graw-Hill , 1960 .
- 4 - Gere , James M . Analysis of framed structures . By James M . Gere and W. Weaver . New York, Van nostrand (1965)
- 5 - Hall, Arthur S. Frame analysis. Arthur S. Hall and Ronald W. Woodhead . John Wiley & sons , Inc .
- 6 - Jenkins , William McLaren , 1927. Matrix and digital Computer methods in structural analysis . W. M. Jenkins , London , New Yew York, Mc Graw - Hill (1969)
- 7 - Laursen , Harold I . Matrix analysis of structures. Harold I. Laursen. Mc Graw - Hill (1969)
- 8 - Livesley , R. K. Matrix methods of structural analysis , Oxford , Pergoman Press . New York , Wacmillan (1964)
- 9 - Pipes , L. A. Matrix - Computer methods in engineering. Lous A. Pipes and Shahen A. Hovanessian John Wiley & sons , Inc.
- 10 - Prezemienecki , J . S. Theory of matrix structural analysis . New York , McGraw - Hill , (1967 ,c 1968)
- 11 - Rebinson , Jonn, 1933. Structural matrix analysis for the engineer. New York , Wiley (1966)
- 12 - Rubinstein , Moshe F. Matrix computer analysis of structures. Englewood Cliffs , Prentice-Hall (1966)

- 13 - Varga , Richard S. Matrix Iterative analysis. Englewood Cliff , N. J. , Prentice - Hall , 1962.
- 14 - Meaver, William , 1929. Computer programs for structural analysis . William Meaver , Jr. Princeton, N. J. Van Nostrand (1967)
- 15 - Wang , Ping - Chung. Numerical and matrix methods in structural mechanics with application to computers.
- Ping - Chung Wang . John Wily & sons, Inc , New York. London. Sydney.
- ۱۶ - محاسبات و جداول ساختمانهای بلند ، نوشته تا کابایا ، ترجمه مهندس ناصر توفیق.
- ۱۷ - جزوء محاسبات ماتریسی آقای دکتر حریری .
- ۱۸ - جزوء ساختمان فلزی آقای دکتر حسین زاده .